

تحلیل رفتار تنش - کرنش و اشرهای حلقه‌ای لاستیکی در شرایط کارکرد به کمک تحلیل اجزای محدود

Analysis of Stress-Strain Behavior of O-Rings Under Service Condition
by Using Finite Element Analysis

گو درز خدابخشی*، غلامرضا بخشندۀ، میر حمیدرضا فریشی

تهران، پژوهشگاه پلیمر و پتروشیمی ایران، پژوهشکده فرایند، گروه لاستیک، صندوق پستی ۱۴۹۶۵/۱۱۵

دریافت: ۸۲/۶/۲۵، پذیرش: ۸۲/۱۲/۲۷

چکیده

واشرهای حلقه‌ای لاستیکی به علت کارایی و نقش بسیار حساسی که در صنعت دارند همواره مورد توجه بوده‌اند. در این پژوهش، با استفاده از روش اجزای محدود رفتار واشر حلقه‌ای لاستیکی مورد استفاده در صافی دستگاه دیالیزگر خون در شرایط کارکرد بررسی شده است. از دو مدل ریاضی مونی-ریولین و آرودا-بویس برای بیان رفتار تنش - کرنش الاستومرها استفاده شد که نتایج مربوط به مدل آرودا-بویس در حالت فشاری با نتایج تجربی تطابق بسیار خوبی نشان داد. مدل مونی-ریولین نیز در حالت کششی با نتایج تجربی تطابق خوبی داشت. همچنین، نحوه توزیع تنشهای فون میسر و تنشهای نرمال در جهت‌های x و y نیز بدست آمد. افزون بر آن، تنشهای تماسی نیز به دلیل اهمیتی که در پیش‌بینی رفتار دارند در حالات مختلف بررسی شد.

واژه‌های کلیدی

تحلیل اجزای محدود، واشر حلقه‌ای،
تنش - کرنش، مونی - ریولین،
آرودا - بویس

مقدمه

امروزه، روش اجزای محدود به عنوان یکی از روش‌های مؤثر برای تحلیل اجسام پیچیده در بارهای مختلف مکانیکی و گرمایی بطور گسترده بکار گرفته می‌شود. در این روش با نگرشی متفاوت از روش‌های ساده تحلیلی، پاسخ عمومی و نظامدار برای حل مسائل مطرح

می‌شود. پیچیدگی‌های مسائل مربوط به قطعات لاستیکی از نظر شکل هندسی، معادلات دیفرانسیل حاکم، ساختار مواد بکار رفته در آنها، بارگذاری و سایر مسائل سبب شده است که عملأً راه حل‌های تحلیلی نتوانند پاسخ صحیحی از رفتار یک قطعه زیر بارهای گوناگون ارائه دهد.

Key Words

finite element analysis, O-ring, stress-strain, Mooney-Rivlin, Arruda-Boyce

تک اجزاء، مقدار سفتی کل و پیامد آن مقادیر مجهول، مانند تغییر مکانها محاسبه می‌شوند.

مراحل کارایی روش اجزای محدود در تحلیل یک مسئله به سه بخش عمده تقسیم بندی می‌شود:

- مرحله پیش پردازش،
- مرحله پردازش و
- مرحله پس پردازش.

روند حل یک مسئله به روش اجزای محدود از مرحله پیش پردازش

آغاز می‌شود و در انتهای مرحله پس پردازش، پاسخهای مسئله مشاهده می‌گردد.

بطور کلی رفتار غیرخطی نتیجه مجموعه‌ای از علتها و مسائل است که این علتها به سه گروه عمده زیر تقسیم بندی می‌شوند:

- غیر خطی بودن شکل هندسی،
- غیر خطی بودن رفتار مواد و معادلات حاکم بر آنها و
- غیر خطی بودن و متغیر بودن شرایط مرزی و مسائل تماسی.

رابطه غیرخطی بین تنش و کرنش در مواد باعث ایجاد رفتار غیرخطی می‌شود. موادی که در این دسته قرار می‌گیرند با توجه به نوع رفتارشان

عمدتاً به کمک یکی از مدلهای ریاضی زیر بیان می‌گردد:

- مدل کشسان غیرخطی،
- ابر کشسان و
- نرمی.

معادله حاکم برای مواد ابرکشسان همسانگرد به شکل زیر بدست می‌آید:

$$\sigma_i = J^{-1} \lambda_i (\delta w / \delta \lambda_i) \quad (1)$$

$$J = \lambda_1 \lambda_2 \lambda_3$$

که در آن w تابع انرژی کرنشی و σ_i تنش کوشی است.

معادله ۱ به شکل زیر نیز نوشته می‌شود:

$$\tau_i = J \sigma_i \quad (2)$$

$$L_i = \ln \lambda_i \quad (3)$$

در این دو معادله L_i کرنش لگاریتمی و τ_i تنش کیرشهف است. در مدل ابر کشسان رابطه مستقیمی میان تنش و کرنش وجود ندارد و معمولاً رابطه میان انرژی کرنشی و نامتغیرهای کرنش وجود دارد. تابع متنوعی

داشتن تصویری از رفتار یک قطعه در شرایط کارکرد، اثر مستقیم بر طراحی بهینه آن قطعه خواهد داشت. به عنوان مثال، با دانستن چگونگی توزیع تنش درون یک سازه، نقاط بحرانی و ایمن مشخص می‌شود و از این راه با تغییر در طرح اولیه می‌توان به طرح بهینه دست یافت.

واشرها و بخصوص واشرهای حلقه‌ای به سبب کارایی حساسانه همواره مورد توجه بوده‌اند. پیش‌بینی محلهای تمرکز تنش و همچنین مقادیر تنش در نقاط مختلف، این امکان را به طراح می‌دهد تا با بررسی کارایی و مقاومت واشر حلقه‌ای در شرایط کارکرد بتواند به بهترین شکل آن را طراحی کند.

رابرت فینی (Finney) و همکاران به مقایسه نتایج حاصل از چهار مدل ریاضی بیان شده برای الاستومرها که عبارتند از: مدل‌های مونی - ریولین (Mooney-Rivlin)، اگدن (Ogden)، پنگ (peng) و پنگ - لندل (Peng-Landel) با نتایج تجربی تلویر پرداختند. در نتیجه گیری کلی مدل اگدن بهترین تطابق را با نتایج تجربی در محدوده کرنشهای زیاد نشان داد. در کرنشهای کم تمام مدلها تطابق نسبی مطلوبی داشتند [۱].

دالی (Daley) و همکاران نیز میزان دقت و صحت مدل‌سازی الاستومرها را به کمک نرم افزارهای اجزای محدود بررسی کردند. آنها از دو مدل مونی - ریولین و اگدن برای مدل‌سازی الاستومرها استفاده کردند. در حالت کششی مدل مونی - ریولین و در حالت فشاری مدل اگدن تطابق بهتری با نتایج تجربی داشت. همچنین، با بررسی اثر دما روی تغییرات تنش این نتیجه حاصل شد که در زمانهای کوتاه و محدود اثر تغییرات سختی آمیزه روی نتایج نسبت به دما بیشتر است [۲].

مدري (Medri) و استروزی (Strozzi) (hyperelastic) نحوه توزیع تنش و کرنش را در درزگیرها در حالات و شرایط مختلف بررسی کردند [۳]. تحلیل مواد ابرکشسان (hyperelastic) و مسئله تماس به کمک روش اجزای محدود نیز توسط پرایر (Prior) بررسی شد. همچنین، موادی که در انتخاب اجزا و ایجاد مدل به هنگام تحلیل تماس باید مد نظر قرار گیرد نیز مطرح شد [۴].

نتایج حاصل از مدل‌های آرودا - بویس (Arruda-Boyce) و جنت (Gent) نیز با نتایج تجربی مقایسه شد. در حالت کششی نتایج تقریباً مشابه با هم و با نتایج تجربی مطابق بود، ولی در حالت فشاری نتایج مدل آرودا - بویس تطابق بهتری با نتایج تجربی داشت [۵].

مدلسازی به روش اجزای محدود

در تحلیل یک مسئله به روش اجزای محدود، ابتدا مسئله به تعداد زیادی جزء کوچکتر تبدیل می‌شود، سپس سفتی هر جزء و مقادیر نیرو و روی هر کدام از آنها محاسبه می‌شود. از روی هم گذاری مقادیر سفتی تک

شده در مرحله قبل بدست آمده است.
از آنجا که مقادیر نیروهای وارد شده داخلی روی هر گره تابعی از مقادیر جابه‌جایی گره‌ها در زمان $t + \Delta t$ است، بنابراین حل معادله از طریق روش تکراری به شکل زیر انجام می‌شود:

$$\{\Delta R\}_{(i-1)} = \{R\}^{t+\Delta t} - \{F\}_{(i-1)} \quad (9)$$

$$\{K\}_{(i)}^{t+\Delta t} \{\Delta U\}_{(i)} = \{\Delta R\}_{(i-1)} \quad (10)$$

$$\{U\}_{(i)}^{t+\Delta t} = \{U\}_{(i-1)}^{t+\Delta t} + \{\Delta U\}_{(i)} \quad (11)$$

$$\{U\}_{(.)}^{t+\Delta t} = \{U\}^t \quad (12)$$

$$\{F\}_{(.)}^{t+\Delta t} = \{F\}^t \quad (13)$$

که در آن $\{R\}^{t+\Delta t}$ ، بردار نیروهای وارد شده خارجی روی هر گره، $\{F\}^{t+\Delta t}$ بردار نیروهای داخلی روی هر گره و $\{\Delta R\}_{(i-1)}$ بردار برایند نیروها در تکرار $i-1$ است.

از میان روش‌های تکراری می‌توان به موارد زیر اشاره کرد:
- روش نیوتون - رافسون (Newton-Raphson)

- روش نیوتون - رافسون اصلاح شده (modified Newton-Raphson) (quasi Newton, Broyden Fletcher Goldfarb Shanno) BFGS-

برای هر روش افزایشی که از راه تکرار به حل مسائل می‌پردازد، باید معیاری به منظور پایان تکرارها تعريف شود. روش‌های خاصی بدین منظور و با عنوان معیار همگرایی معرفی می‌شوند. این روش‌ها عبارتند از:

- همگرایی مربوط به جابه‌جایی،
- همگرایی مربوط به بارگذاری و نیرو و
- همگرایی مربوط به تغییرات انرژی.

پس از مرحله پردازش و حل مسئله، نتایج را می‌توان در مرحله پس‌پردازش مشاهده و بررسی کرد. در مسائل ایستا معمولاً نتایجی از قبیل جابه‌جایی، تنش و کرنش مورد نظرند.

تجربی

مواد

قطعه مورد تحلیل در این طرح یک واشر حلقه‌ای لاستیکی است. واشر، حلقه‌ای با سطح مقطع دایره‌ای شکل است. اندازه آن با قطر سطح مقطع

در این زمینه مطرح شده اند که از آن جمله می‌توان به توابع زیر اشاره کرد:

الف - مونی - ریولین [۶، ۷]:

$$W = \sum C_{ij}(I_1 - 3)(I_2 - 3) \quad (4)$$

ب - اگدن [۸]:

$$W = \sum \sum C_j / b_j (a_i^b - 1) \quad (5)$$

ج - آرودا - بویس [۹]:

$$W = \sum C_I (I_1^i - 3^i) \quad (6)$$

علاوه بر توابع یاد شده می‌توان به توابع پنگ [۱۰]، پنگ - لندل [۱۱، ۱۲]، نئوهوکین (Neo Hookean) و جنت [۵] اشاره کرد. آنچه که باعث انتخاب مدل مناسب می‌شود، میزان تطابق حاصل از نتایج پیش‌بینی شده مدل با مقادیر اندازه‌گیری شده است.

در مرحله پردازش با توجه به این که در یک تحلیل غیرخطی شکل هندسی، خواص مواد و شرایط مرزی تغییر می‌کند، یک استراتژی مشخص و ثابت در طول تحلیل مانند مسائل خطی پاسخگو نیست و بنابراین باید تحلیل براساس یک روش بازه‌ای (incremental method) و تکراری (iteration) انجام شود.

از آنجا که رفتار یک قطعه لاستیکی رفتاری غیرخطی و بر اساس تغییر شکل‌های بزرگ است نمی‌توان از معادلات ساده شده تنش - کرنش به شکل معمول استفاده کرد، در نتیجه معادله کرنش - جابه‌جایی بر اساس معادله گرین - لاگرانژ به شکل زیر قابل تعریف است [۱۳، ۱۴]:

$$e_{ij} = \{U_{i,j} + U_{j,I} + U_{k,i}U_{k,j}\} \quad (7)$$

که در آن e_{ij} شکل عمومی تansور کرنش و I مقادیر جابه‌جایی در جهت‌های مختلف است. در تحلیل غیرخطی دستگاه معادلات در بازه‌های زمانی به شکل زیر بیان می‌شود:

$$\{R\}^{t+\Delta t} - \{F\}^{t+\Delta t} = 0 \quad (8)$$

که در آن $\{R\}^{t+\Delta t}$ ، بردار نیروهای وارد شده خارجی روی هر گره و $\{F\}^{t+\Delta t}$ بردار نیروهای داخلی روی هر گره است که از محاسبات انجام

الاستومر با سختی ۷۰ شور A به مقدار ۶۵ phr استفاده شد. ابتدا این دو نوع الاستومر بمدت ۳ min به کمک غلتک مخلوط شده و سپس عامل پخت به میزان ۰/۸ phr به آمیزه اضافه شد. کل زمان اختلاط و تهیه هر آمیزه ۵۰ min و دمای غلتک ۶۰°C بود.

تحلیل اجزای محدود

در این پژوهش، از نرم افزار Ansys نسخه های ۱/۶ و ۴/۵ به منظور انجام تحلیلهای اجزای محدود کمک گرفته شده است. نرم افزار Ansys یکی از قویترین نرم افزارهای اجزای محدود است و روش کلی تحلیل به کمک این نرم افزار مانند سایر نرم افزارهای اجزای محدود شامل سه مرحله پیش پردازش، پردازش و پس پردازش است. نسخه ۶/۱ جدیدترین نسخه نرم افزار در بازار است و با توجه به این مسئله که در ابتدای انجام این پژوهش نسخه ۴/۵ تهیه شده است، در بازار بود، از آن برای انجام تحلیلهای استفاده شد. به دلیل عدم تعریف مدل آرودا - بویس در نسخه ۵/۴، استفاده از نسخه ۶/۱ لازم شد.

در بخش پیش پردازش با داشتن ابعاد هندسی واشر حلقه‌ای و دیواره‌های محصور کننده آن شکل هندسه مسئله ایجاد می شود. شکل هندسی سطح مقطع واشر در شکل ۱ آورده شده است. قطر سطح مقطع این واشر ۳ mm و ضخامت دیواره‌های آن ۰/۵ mm است. در این پژوهش، برای بیان رفتار تنش - کرنش الاستومر از دو مدل مونی - ریولین و آرودا - بویس استفاده شده است. جزء مناسب که از مدل مونی - ریولین برای تحلیل واشر حلقه‌ای لاستیکی استفاده می کند، Hyper ۵۶ است. Hyper ۵۶ یک جزء ۴ نقطه‌ای و ۲ بعدی است که در حالت کرنش صفحه‌ای هر نقطه دارای ۲ درجه آزادی و در حالت متقاضی هر گره دارای ۳ درجه آزادی است. این جزء از روش و فرمولیندی U-P استفاده اصل کلی متغیرهای مخلوط با فشار تعریف شده برای اعمال محدودیت تراکم ناپذیری استفاده می کند. این روش تشکیل اجزا را با استفاده اصل کلی متغیرهای مخلوط با فشار تعیین خواص مواد ورودی در این جزء مدول، نسبت پواسون و ثابتی معادله مونی - ریولین را می توان در برنامه اعمال کرد که مقادیر آنها به شرح زیر است:

$$C_1 = 0/۵۲ \quad C_2 = 0/۲۹ \quad E = ۲/۹۶ MPa \quad \nu = ۰/۴۹۷$$

که C_1 و C_2 ثابتی مونی - ریولین، E مدول یانگ و ν نسبت پواسون است.

تابع درون یابی این جزء به شکل زیر تعریف می شود:

$$N_i = \frac{1}{4} i^2 (1-i)^2 (1+i)^2 (1+(-i)^2) \quad i = 1, 4 \quad (14)$$

و قطر داخلی معنی می شود. واشر حلقه‌ای یکی از ساده‌ترین و کاربردی ترین قطعاتی است که برای درزبندی سیالات بکار می رود و مانع از نشتی سیال می شود. در تهیه این واشرها می توان از الاستومرهای مختلف استفاده کرد، اما برای درزبندی صافی دستگاه دیالیزگر خون که کاربرد خاص مورد نظر این طرح است، باید از الاستومری استفاده کرد که قابلیت زیست سازگاری داشته باشد و در این حالت خاص، الاستومرهای سیلیکونی از نوع پزشکی مورد استفاده قرار گرفتند.

مواد مصرف شده در این پژوهش به قرار زیر است:

- الاستومر سیلیکونی از نوع پزشکی Silopren HV ۴/۴۱۱ ساخت شرکت GE Bayar با سختی ۴۰ شور A
- الاستومر سیلیکونی از نوع پزشکی Silopren HV ۴/۸۱۱ ساخت شرکت GE Bayar با سختی ۷۰ شور A و
- دی کومبل پروکسید (DCP) با درجه خلوص ۹۸ درصد ساخت کشور تایوان.

صافی دیالیزگر خون از یک پوسته پلاستیکی سخت از جنس پلی کربنات یا پلی استیرن ساخته شده و دارای غشاست. دو عدد سرپوش از جنس مشابه با پوسته (پوسته پلاستیکی) به دو انتهای آن بسته می شوند. به کمک یک پمپ، خون از بدن وارد یکی از سرپوشها می شود و با عبور از داخل الیاف از راه سرپوش خروجی به بدن بر می گردد. همچنین، یک حلال شستشو دهنده در خلاف جهت جریان خون و در بیرون از الیاف در جریان است. واشر لاستیکی بین سرپوشها و پوسته قرار دارد که با بسته شدن سرپوش، این واشر تحت فشار قرار می گیرد و مانع از نشت خون از بین سرپوش و پوسته پلاستیکی می شود.

دستگاهها

برای انجام عملیات آمیزه سازی و همچنین تعیین خواص فیزیکی و مکانیکی آمیزه برای انجام تحلیلهای مورد نیاز دستگاههای زیر بکار گرفته شد:

- غلتک Schwabenthan Polymix ۲۰۰ L
- پرس ۱۰۰ Tni Bucher-Guyer AG
- سختی سنج (شور A) ساخت شرکت زوئیک آلمان و
- دستگاه کشش MTS ۱۰ / M

همچنین، برای انجام تحلیلهای اجزای محدود از یک دستگاه کامپیوتر پنتیوم III با سرعت ۷۵۰ MHz و حافظه ۱۲۸ MB استفاده شد.

روشها

تهیه آمیزه

در تهیه آمیزه ها از الاستومر با سختی ۴۰ شور A به مقدار ۳۵ phr و از

بعدی است که قابلیت تشکیل جفت تماسی را با اجزای تماسی ۱۷۱ و ۱۷۲ دارد. جزء تماسی ۱۷۱ نیز یک جزء ۲ بعدی است که دارای ۲ درجه آزادی در هر نقطه است. این جزء قابلیت قرار گرفتن روی سطوح اجزای پوسته‌ای و جامد ۲ بعدی را، که قادر نقطه میانی هستند، دارد. در تحلیل واشر حلقه‌ای از ۲ جزء ۱۶۹، ۲۲، ۱۷۱ و ۱۷۲ جزء ۵۶ استفاده شده است. Hyper

ثابت‌های مربوط به اجزای تماسی به شکل زیر معین شدند: مقدار ۱ برای ثابت FKN و ۰/۱ برای ثابت FTOLN در نظر گرفته شد. ثابت‌های PMIN و PMAX شرایط اولیه قرار گرفتن دو سطح را نسبت به هم معین می‌کنند. مقادیر این ثابتها برابر با مقادیر پیش فرض نرم افزار در نظر گرفته شد.

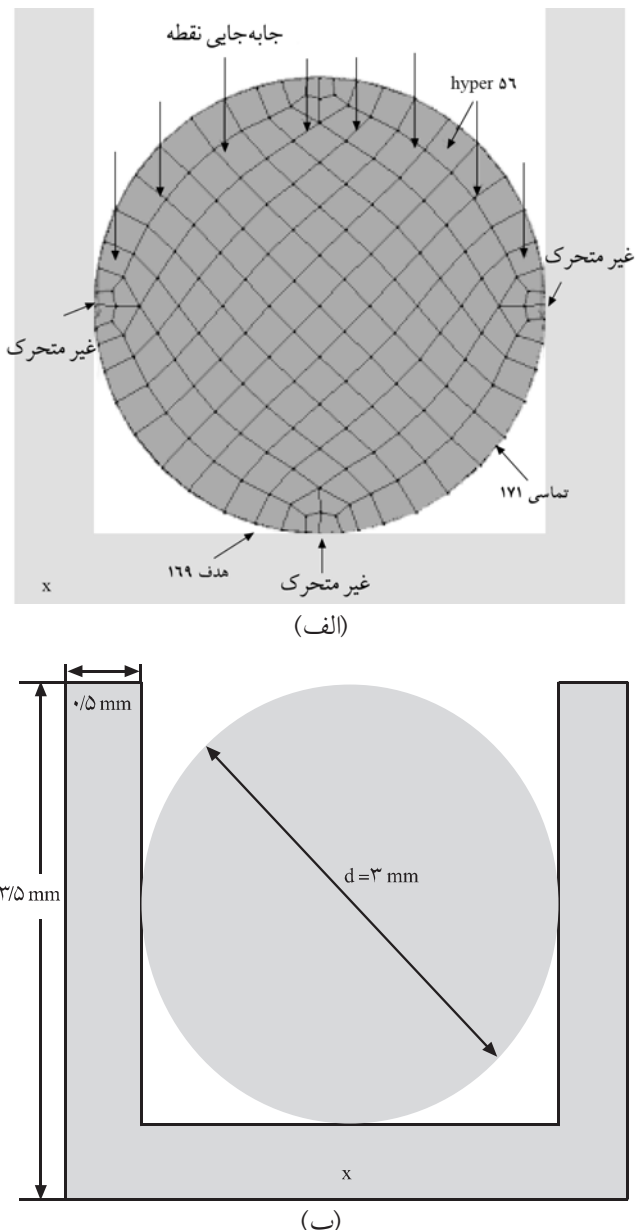
پس از تعیین ثابتها، بارگذاری روی مدل انجام می‌شود. در این مسئله بارگذاری روی واشر به شکل جایه جایی سطح بالای واشر در جهت Y منفی اعمال می‌شود. مقدار این جایه جایی برابر با ۰/۰۱۵، ۰/۰۳ و ۰/۰۶ mm در حالات مختلف در نظر گرفته شد.

با پایان عملیات بارگذاری، بخش پیش پردازش پایان یافته و نوبت به بخش پردازش می‌رسد. با توجه به اینکه مسئله در حالت ایستا و غیرخطی انجام می‌شود، تنظیمات مربوط به حل و تحلیل این گونه مسائل باید انجام و گزینه NLgomm باید فعال شود. روش حل معادلات، روش Front Solver در نظر گرفته شود. در این روش ماتریس کامل عمومی ایجاد نمی‌شود، بلکه مرحله ایجاد ماتریس و مراحل بطور همزمان برای هر جزء انجام می‌گردد. روش تکرار نیوتون - رافسون نیز برای رسیدن به جواب دقیق انتخاب شد.

بار اعمالی بتدریج در ۱۰۰۰ مرحله کوچکتر اعمال شد. تعداد تکرارهای تعادلی که نقش مهمی در دقت جوابها دارد، برابر ۴۰ تکرار در هر مرحله در نظر گرفته شد. برای کمک به مسئله همگرایی حالت‌های جستجوی خطی و پیش‌بینی کننده باید در حالت فعال قرار گیرند. در بخش کنترل و معیار همگرایی مبنابرآساس معیار کنترل نیرو و حد تحمل ۰/۰۰۱ و شکل L۲ انتخاب شد.

با انجام تنظیمات ذکر شده، مسئله آماده حل است. با انتخاب گزینه solve current LS نرم افزار شروع به حل مسئله می‌کند. بعد از انجام این مرحله نتایج را می‌توان در بخش پس‌پردازش مشاهده کرد. در بخش پس‌پردازش می‌توان نتایج مورد نظر را دید که شامل تنشهای فون میسز و تنشهای در جهت‌های x و y است.

مسئله دیگری که در این پژوهش مد نظر قرار گرفت، تحلیل واشر حلقه‌ای لاستیکی با مدل آرودا - بویس بود. جزء ۱۸۲ Plane مناسب‌ترین جزء برای تحلیل با استفاده از مدل آرودا - بویس در مسائل دو بعدی است. این مدل و جزء ذکر شده در نرم افزار Ansys نسخه ۶/۱ موجود



شکل ۱ - (الف) مدل مش بنای شده و (ب) طرح کلی سطح مقطع واشر حلقه‌ای.

$$N_i = \frac{1}{4} (1 + (-1)^i) (1 + (-1)^{i+1}) \quad i = 2, 3 \quad (15)$$

به دلیل تماس واشر حلقه‌ای با دیواره‌های جانبی، مسئله تماس نیز باید مد نظر قرار گیرد. در تحلیلهای تماسی که دو سطح سخت و نرم با هم در تماسند، سطح سخت با جزء هدف (target) و سطح نرم با جزء تماسی جزء‌بندی می‌شوند.

در این پژوهش، اجزای هدف ۱۶۹ و تماسی ۱۷۱ مناسب‌ترین اجزا برای بررسی تماس سطوح با یکدیگر است. جزء هدف ۱۶۹ یک جزء ۲

جدول ۱- مقادیر ماکسیمم و مینیمم تنش ایجاد شده در واشر حلقه‌ای در فشردگیهای ۵، ۱۰، ۱۵ و ۲۰ درصد.

کرنش ماکسیمم	تنش ماکسیمم (MPa)	نسبت فشردگی (%)
۰/۱۸	۰/۵۵	۵
۰/۳۲	۰/۹۲	۱۰
۰/۵۳	۱/۴	۱۵
۱/۰۳	۲/۵	۲۰

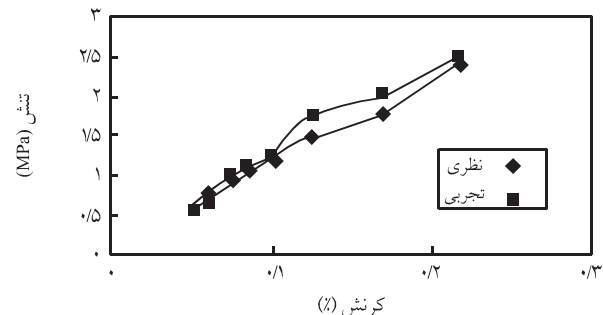
محاسبه شد. مقادیر محاسبه شده در جدول ۱ آمده است. با مقایسه مقادیر جدول ۱ دیده می‌شود که ماکسیمم تنش ایجاد شده در واشر هنگامی که ۱۰ درصد قطر آن فشرده می‌شود، ۰/۶۷ برابر زمانی است که ۵ درصد فشرده می‌شود و این مقدار هنگامی که واشر ۱۵ درصد فشرده می‌گردد برابر ۰/۵۴ است. زمانی که واشر ۲۰ درصد فشرده می‌شود، مقدار ماکسیمم تنش ۰/۴۵ است. برابر حالتی است که ۵ درصد فشرده می‌گردد. این نتایج نشان می‌دهد که رابطه خطی بین میزان فشردگی و مقدار ماکسیمم تنش وجود ندارد. مسئله دیگری که باید به آن توجه کرد، تغییر خواص آمیزه واشر آن روی مقادیر ماکسیمم و مینیمم تنشهای ایجاد شده در قطعه است. در این پژوهش، با تغییر مقدار عامل پخت، ۳ آمیزه با ساختهای مختلف تهیه شدند. مقدار عامل پخت، دی‌کومیل پروکسید، در این آمیزه‌ها به ترتیب برابر ۰/۶، ۰/۸ و ۱ phr است. مقادیر ماکسیمم تنش با افزایش سختی افزایش می‌یابد. در جدول ۲ مقادیر ماکسیمم تنش در برابر تغییرات عامل پخت آورده شده است.

جدول ۲- تغییرات تنش ماکسیمم در برابر عامل پخت.

تنش ماکسیمم (MPa)	مقدار عامل پخت (phr)
۰/۷۸۸	۰/۶
۰/۹۴۴	۰/۸
۱/۰۰۸	۱

جدول ۳- مقادیر ماکسیمم تنشهای تماسی در حالت فشردگی بین دو صفحه.

تنش تماسی (MPa)	نسبت فشردگی (%)
۰/۹۶۶	۱۰
۲/۱۳۷	۲۰



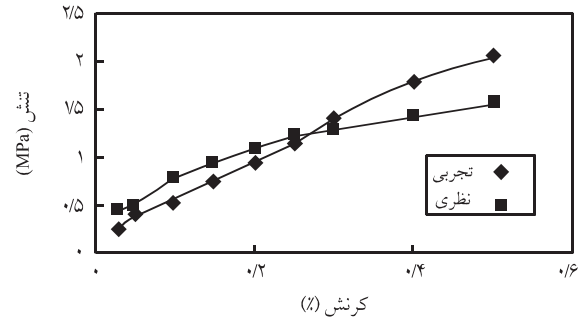
شکل ۲- مقایسه نتایج تجربی و نظری حاصل از مدل آرودا - بویس.

است. همه مراحل یاد شده در حالت تحلیل با استفاده از مدل مونی - ریولین در این حالت هم صادق است و تنها تفاوت در ثابت‌های مدلهاست که ثابت‌های آرودا - بویس جایگزین ثابت‌های مونی - ریولین شدند. ثابت‌های آرودا - بویس شامل $G = ۴۰۴۰\text{--}۲\text{--}۳\text{--}۴$ است. استفاده از دو مدل در این پژوهش برای تحلیل رفتار الاستومرها، با هدف مقایسه و بررسی میزان دقت نتایج حاصل از مدل‌های ارائه شده انجام شده است. مدل مونی - ریولین قدیمی ترین و مدل آرودا - بویس تقریباً جدیدترین مدل ارائه شده در این زمینه‌اند.

نتایج و بحث

نتایج حاصل از روش اجزای محدود از چند بعد تحلیل و مقایسه شد. ابتدا، نتایج عددی بدست آمده از مدل‌های مونی - ریولین و آرودا - بویس با نتایج تجربی مقایسه شد. در شکل‌های ۲ و ۳ نتایج حاصل از این دو مدل و نتایج تجربی باهم مقایسه شده اند.

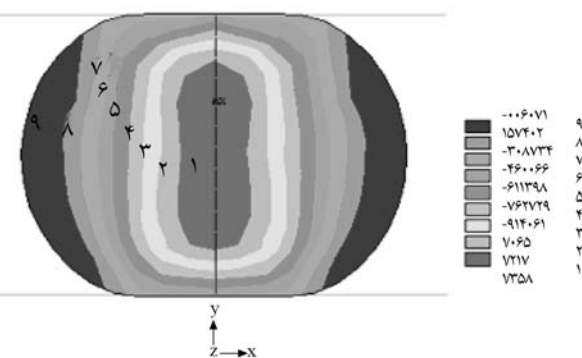
مقادیر ماکسیمم تنش ایجاد شده در واشرهای حلقه‌ای زمانی که این واشرها به نسبتهای ۵، ۱۰، ۱۵ و ۲۰ درصد قطر آنها فشرده می‌شود،



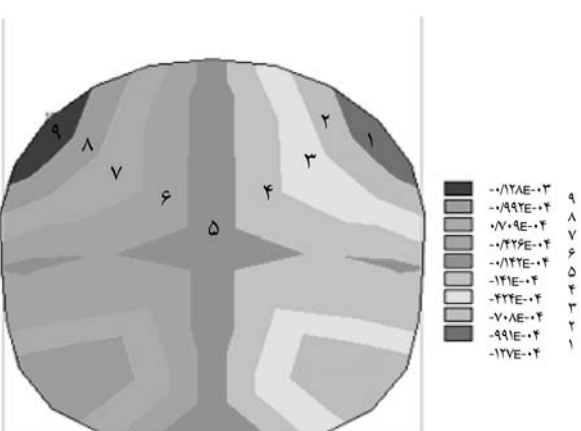
شکل ۳- مقایسه نتایج تجربی و نظری حاصل از مدل مونی - ریولین.

جدول ۴- مقادیر تنشهای تماسی در حالت تماس با سه سطح.

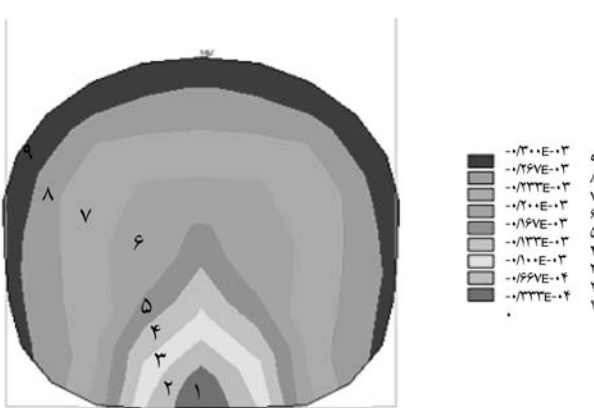
تنش فشردگی (%)	تنش در دیواره کناری (MPa)	تنش در دیواره پایینی (MPa)
۵	۰/۳۴	۱/۰۳
۱۰	۰/۹۶	۱/۷۳
۲۰	۳/۵	۴



شکل ۵- توزیع تنشهای فون میسز در حالت فشردگی بین دو سطح.



شکل ۶- توزیع تنشها در جهت X.



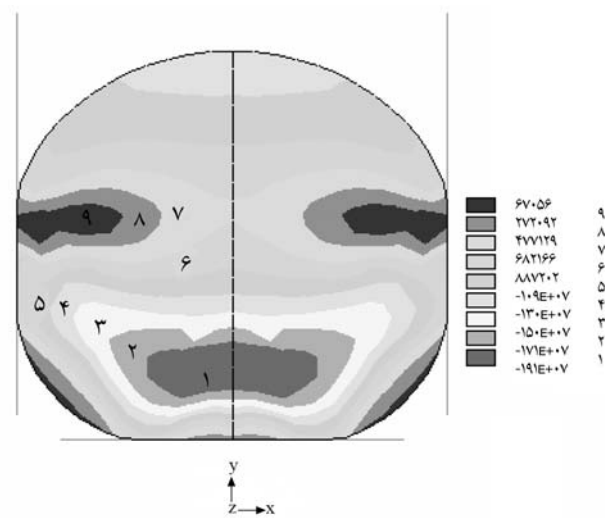
شکل ۷- توزیع تنشها در جهت Y.

از اهمیت خاصی برخوردار است. در شکل‌های ۴ و ۵ نحوه توزیع تنشها فون میسز در واشر در دو حالت یاد شده آمده است. تمرکز ماکسیمم

تشهای تماسی که به واسطه تماس واشر با دیواره‌ها ایجاد می‌شود نیز در این پژوهش بررسی شده است. نتایج در حالتی که واشر از سه طرف با دیواره‌ها در تماس است و هنگامی که بین دو صفحه فشرده می‌شود و همچنین، در فشردگی‌های متفاوت بررسی شد. مقادیر تنشهای تماسی در حالت‌های مختلف در جدول‌های ۳ و ۴ آورده شده است. هنگامی که واشر حلقه‌ای بین دو صفحه فشرده می‌شود، مقدار تنشهای تماسی در دیواره‌های بالایی و پایینی به هنگام فشردگی ۲۰ درصد یعنی تقریباً ۳ برابر حالت فشردگی ۱۰ درصد است. در حالت دیگر که واشر از سه طرف با دیواره‌ها در تماس است، نتایج زیر حاصل می‌شود:

در فشردگی ۵ درصد، تنش تماسی در دیواره پایینی ۳ برابر دیواره‌های کناری است. در فشردگی ۱۰ درصد این مقدار تقریباً به ۲ برابر افزایش می‌یابد. در فشردگی ۲۰ درصد تنش تماسی در دیواره‌های کناری اختلاف کمی با مقدار تنش تماسی در دیواره پایینی دارد. در فشردگی ۱۰ درصد مقدار تنش در دیواره‌های کناری برابر تنش در دیواره‌های بالایی و پایینی در حالت فشردگی واشر بین دو سطح است و این امر برای فشردگی ۲۰ درصد هم صادق است.

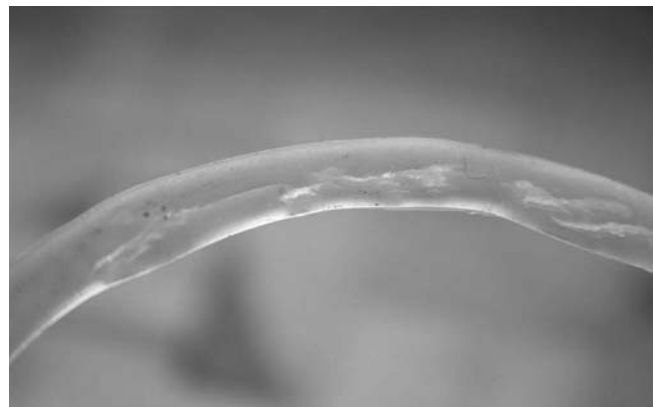
در کنار مقادیر عددی تنشها، نحوه توزیع آنها به هنگام طراحی قطعات



شکل ۴- توزیع تنشهای فون میسز در حالت تماس با سه سطح.

نتیجه گیری

نتایج حاصل از مدل مونی - ریولین در حالت کششی و نتایج حاصل از مدل آرودا - بویس در حالت فشاری تطابق خوبی با نتایج تجربی داشتند. مرکز ماکسیمم تنش در واشر در حالتی که بین سه صفحه محصور است، در نقاطی در نزدیکی سطح تماس پایینی است. بنابراین، نقاطی داد شده محتملترین مکانها برای ایجاد ترک هستند. حداکثر فشردگی در واشر حلقه‌ای مورد بحث در این پژوهش 20% درصد است و با توجه به مقدار ماکسیمم تنش در فشردگی 20% درصد که کوچکتر از مقدار استحکام کششی نهایی آن است نتیجه می‌شود که در واشر نقایصی به شکل ترک ایجاد نمی‌شود.



شکل ۸ - سطح مقطع واشر حلقه‌ای پس از قرار گرفتن بین دو صفحه پرس.

تنش در واشر در حالتی که بین دو صفحه فشرده می‌شود، در نقاط میانی آن است. در حالتی که واشر بین سه صفحه محصور است، این نقاط در نزدیکی سطح تماس پایینی است. در واشرهایی که در حالت استتا عمل می‌کنند، نقایص خود را به شکل ترک نشان می‌دهد. توزیع تنشها در جهتهای x و y ، در شکلهای ۶ و ۷ نشان داده شده‌اند.

روش تجربی برای اطمینان از صحت پیش‌بینی نحوه توزیع تنش در قطعات مختلف، روش نورکشسان (photoelastic) است. در این پژوهش، به علت عدم دسترسی به امکانات لازم در روش یاد شده، روش دیگری به شرح زیر بکار برده شد:

واشر حلقه‌ای لاستیکی بین دو صفحه پرس قرار گرفت. با توجه به تحلیلهای نرم افزاری احتمال ایجاد ترک در نقاط میانی واشر بود که این مسأله با نتیجه حالت تجربی تطابق داشت. در شکل ۸ سطح مقطع واشر بعد از قرار گرفتن بین دو صفحه پرس نشان داده شده است.

مراجع

1. Finney R.H. and Kumar A., Development of Material Constants for Nonlinear Finite Element Analysis, *Rubber Chem. Technol.*, **61**, 879-891, 1988.
2. Daley J.R. and Mays S., The Complexity of Material Modeling in Design Optimization of Elastomeric Seals, Finite Element Analysis of Elastomers, Boast D. and Convey V.A. (Eds.), Professional Engineering, London, 119-128, 1999.
3. Medri G. and Strozzi A., Stress-Strain Fields in Compressed Elastomeric Seals and their Extention to Fracture Mechanics, *Rubber Chem. Technol.*, **59**, 709-721, 1986.
4. Prior A. and Cadge D., Finite Element Analysis of Contact of Hyperelastic Materials, *Finite Element Analysis of Elastomers*, Boast D. and Convey V.A. (Eds.), Professional Engineering, London, 129-140, 1999.
5. Gent A.N., A New Constitutive Relation for Rubber, *Rubber Chem. Technol.*, **69**, 59-61, 1996.
6. Rivlin R.S., Large Elastic Deformation of Isotropic Materials.I. Fundamental Concepts, *Phil. Trans. Royal Soc.*, **A240**, 379-397, 1948.
7. Rivlin R.S. and Saunders D.W., Large Elastic Deformation of Isotropic Material.VII. Experiments on the Deformation of Rubber, *Phil. Trans. Royal Soc.*, **A243**, 251-288, 1951.

8. Ogden R. W., Large Deformation Isotropic Elasticity on the Correlation of Theory and Experiment for Incompressible Rubber-like Solids, *Proc. Royal Soc. Lond.*, **A326**, 565-584, 1972.
9. Arruda E.M and Boyce M.C.A., Three-Dimentional Constitutive Model for the Large Stretch Behaviour of Rubber Elastic Materials, *J. Mech. Phys. Solids*, **41**, 389-412, 1993.
10. Peng S.T., Nonlinear Multiaxial Finite Deformation Investigation of Solid Propellants, *AFRPL TR-85-036*, 1985.
11. Valanis K.C. and Landel R.F., The Strain Energy Function of Hyperelastic Material in Terms of Extention Ratios, *J. Appl. Phys.*, **38**, 2997-3002, 1967.
12. Peng S.T. and Landel R.F., Stored Energy Function and Compressibility of Compressible Rubber-like Material Under Large Strain, *J. Appl. Phys.*, **46**, 2599-2604, 1975.
13. Reddy J.N., *Introduction to Finite Element Method*, 2nd ed., McGraw-Hill, London, Chap.1, 1993.
14. Rao S.S., *The Finite Element Method in Engineering*, Pergamon, London, Chap.1, 1982.